STCF 束流能量测量模拟

陈海, 鲍晨涛

2025/09/20, STCF物理模拟和探测器联合研讨会

束流能量精度的重要性

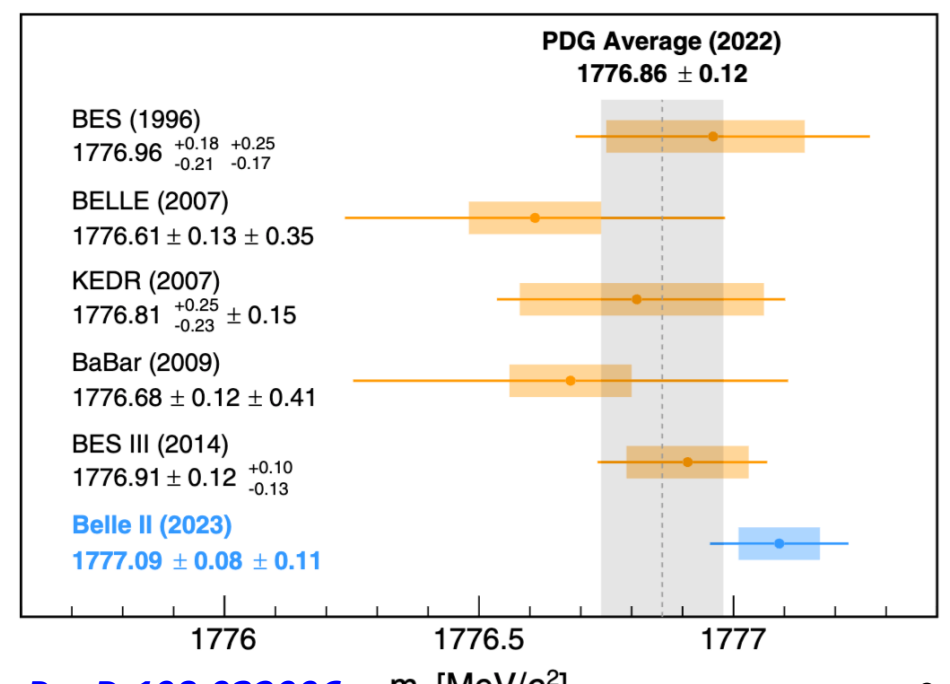
正负电子束流能量的精确测量,对于粒子质量和宽度的精确测量以及散射截面的精确测量具有至关重要的作用;特别的,在STCF实验陶粲能区下的物理目标中体现在多个方面,例如:

- □ τ 质量是标准模型中最基本的参数之一,相较于 e 和 μ 的质量精度 $(\delta m/m = 10^{-8})$,其实验精度目前只达到了 10^{-4} 量级。
- □ 束流能量的不确定性是 BESIII 和 Belle II 实验对于 τ 质量测量的主要系统误差来源。

$$\left(rac{g_{ au}}{g_{\mu}}
ight)^2 = rac{ au_{\mu}}{ au_{ au}} \left(rac{m_{\mu}}{m_{ au}}
ight)^5 rac{B(au o e
u
u)}{B(\mu o e
u
u)} (1+\delta_W)(1+\delta_\gamma).$$

TABLE II. Summary of systematic uncertainties in the τ -mass measurement.

Source	Uncertainty (MeV/c^2)
Knowledge of the colliding beams: Beam-energy correction Boost vector	0.07 < 0.01
Reconstruction of charged particles: Charged-particle momentum correction Detector misalignment	0.06 0.03
Total	0.11



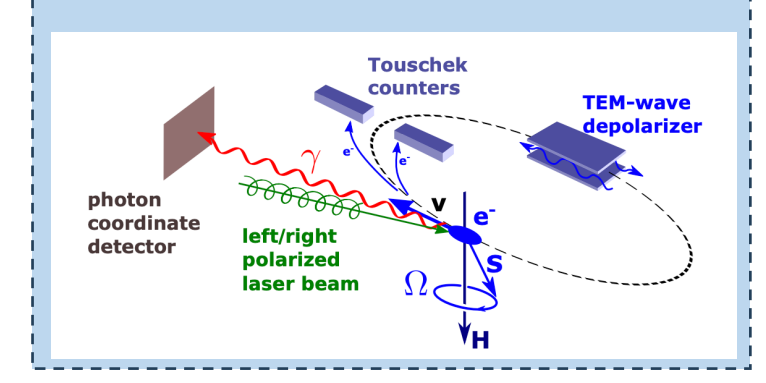
常见的束流能量测量方法

Resonant Depolarization

在加速器中实现高度极化的正负电 子束流是共振去极化的前提。

能量精度: 10-5~10-6

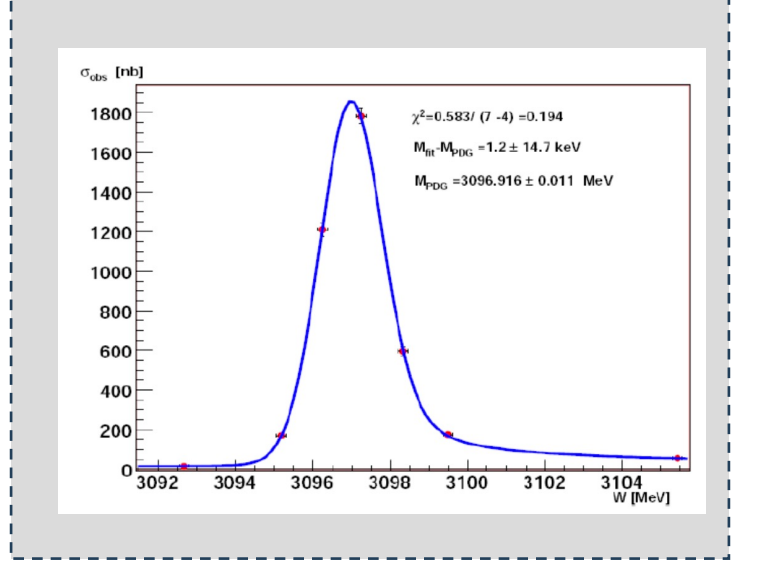
- VEPP-4M
- SOLEIL
- Diamond



Energy Scale Calibration of the J/ ψ and ψ ' Resonances

依赖谱仪的重建精度,可以作为后续的物理分析检验,无法独立实时给出 束流能量的测量。

能量精度: 10-4~10-5

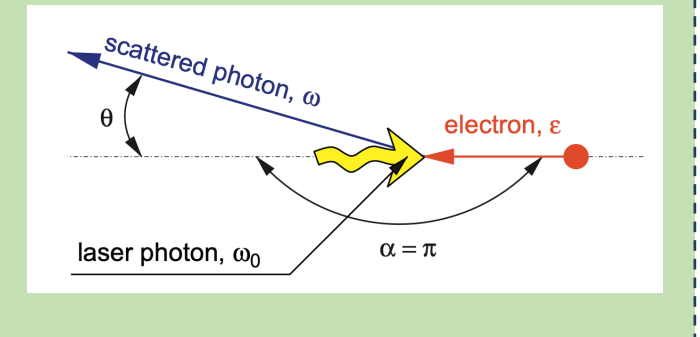


Compton Back-Scattering

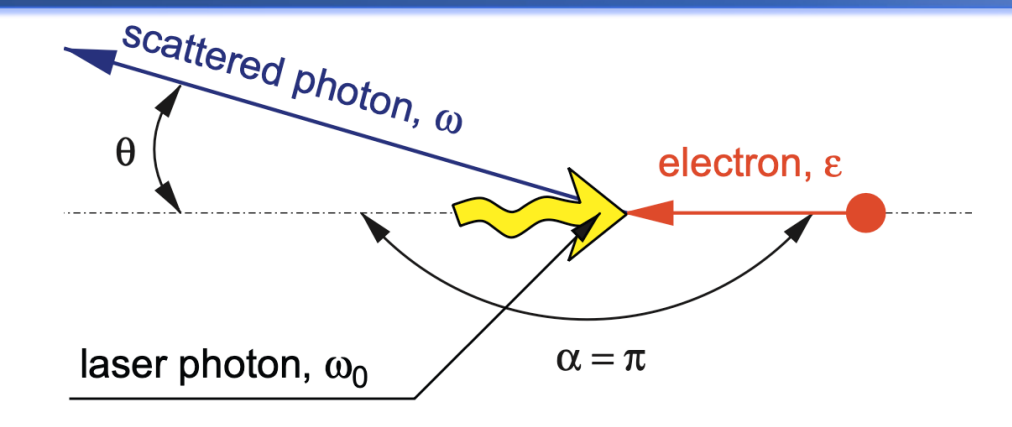
利用激光与正负电子束流间的逆康 普散射,散射光子的能量和角分布 测量束流能量

能量精度: 10-4~10-5

- VEPP-4M
- BESIII
- SPring-8



逆康普顿散射过程



正向对撞情况下,逆康普顿散射光子的最高能量为:

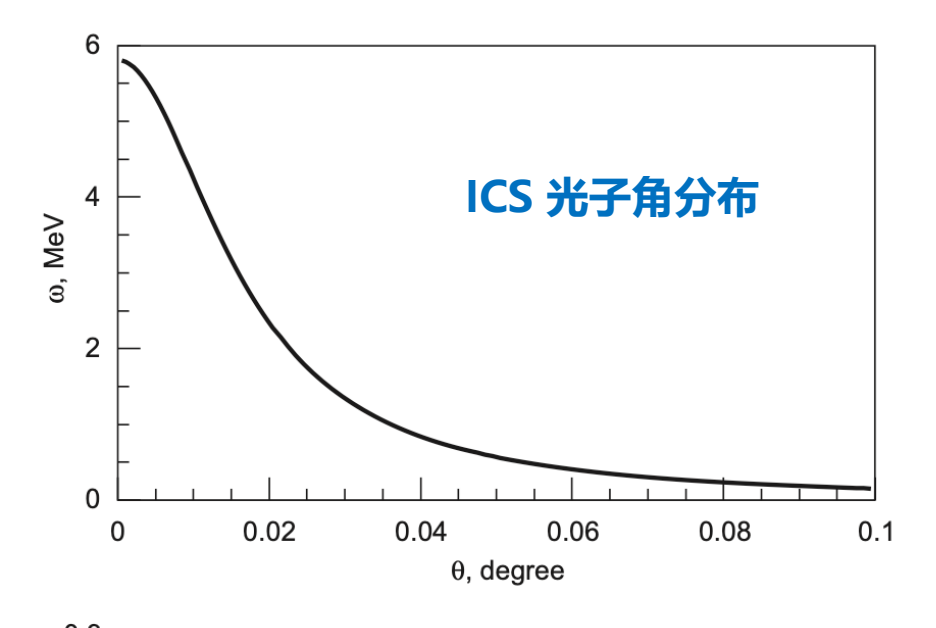
$$\omega_{max} = \frac{\varepsilon^2}{\varepsilon + m_e^2/4\omega_0}$$

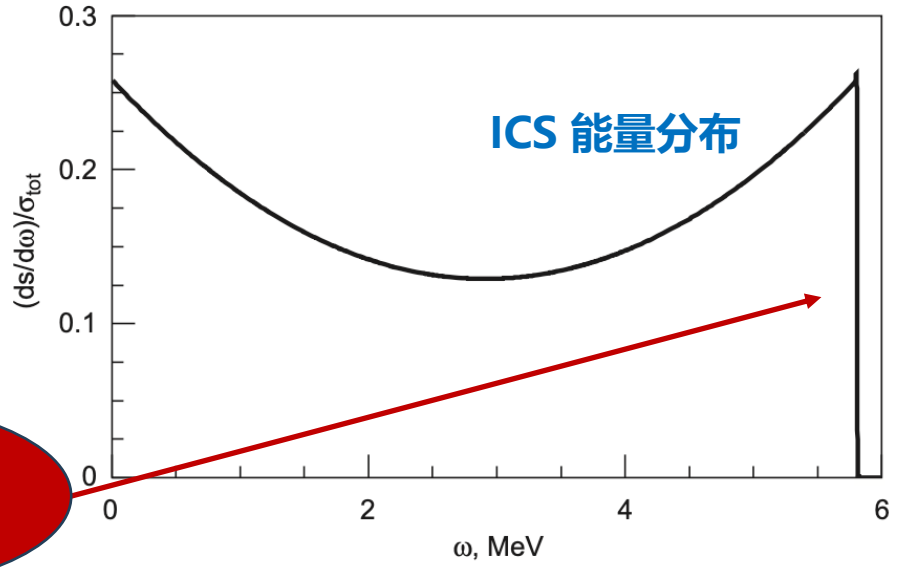
■ 根据测得的 ω_{max}, 可以推断得到束流能量为:

$$\varepsilon = \frac{\omega_{max}}{2} \left[1 + \sqrt{1 + \frac{m_e^2}{\omega_0 \omega_{max}}} \right]$$

■ 束流能量误差

$$\sqrt{\left(\frac{1}{2}\frac{\Delta\omega_{\max}}{\omega_{\max}}\right)^2 + \left(\frac{1}{2}\frac{\Delta\omega_0}{\omega_0}\right)^2 + \left(\frac{\Delta m}{m}\right)^2}$$

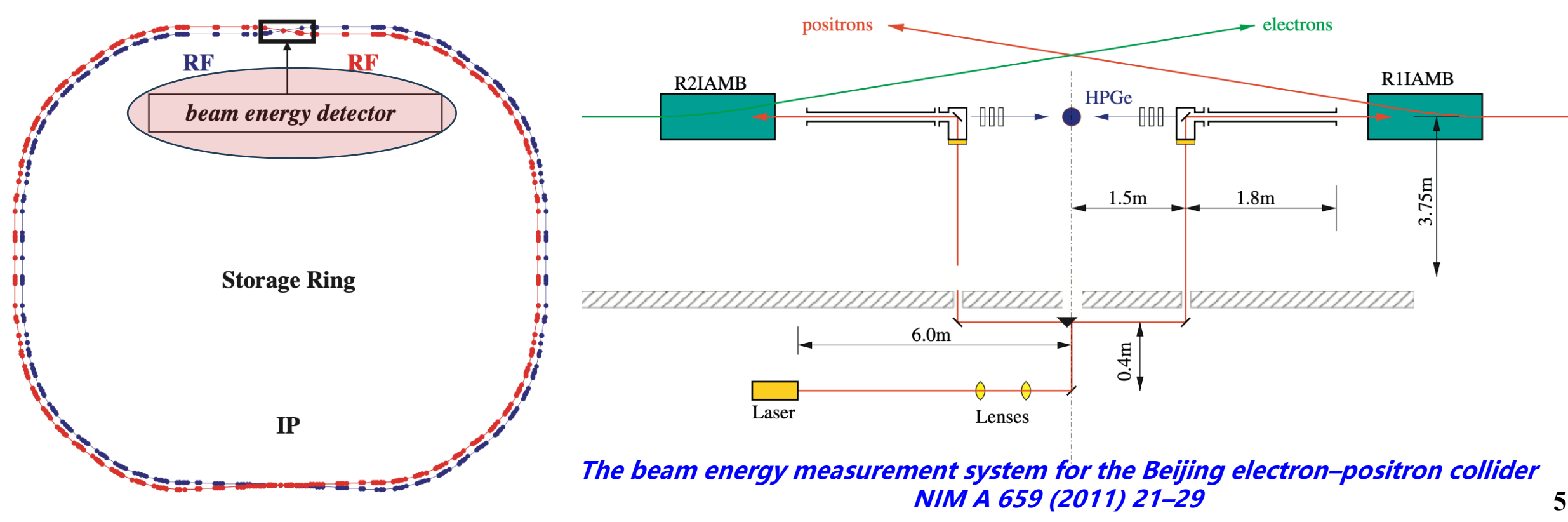




测量精度

BESIII 束流能量测量系统 (BEMS)

- BESIII实验的束流能量测量系统 (BEMS) 位于束流环的北侧交叉点
- BEMS系统由激光光源、光学系统和高纯锗 (HPGe) 探测器组成
- 在 1 mA 束流电流和 1 W的激光功率下,逆康普顿散射的光子产额约为 17000 个/秒
- 验收时达到的束流能量精度为 3.5×10⁻⁵ (正电子) 和 4.29×10⁻⁵ (电子)

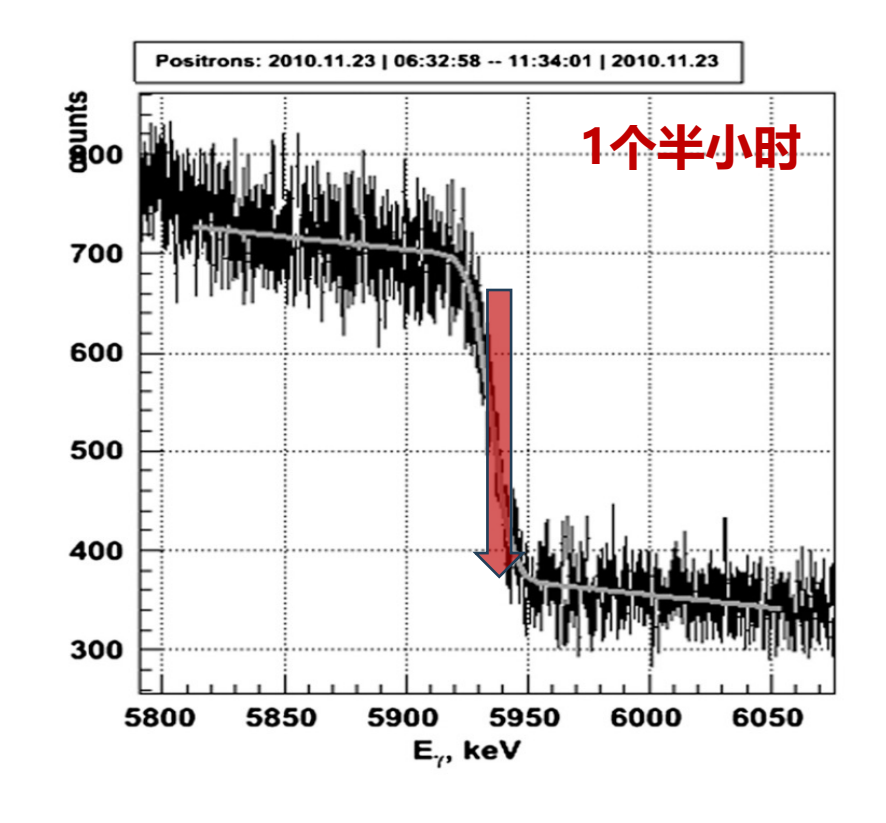


高纯锗 (HPGe) 探测器

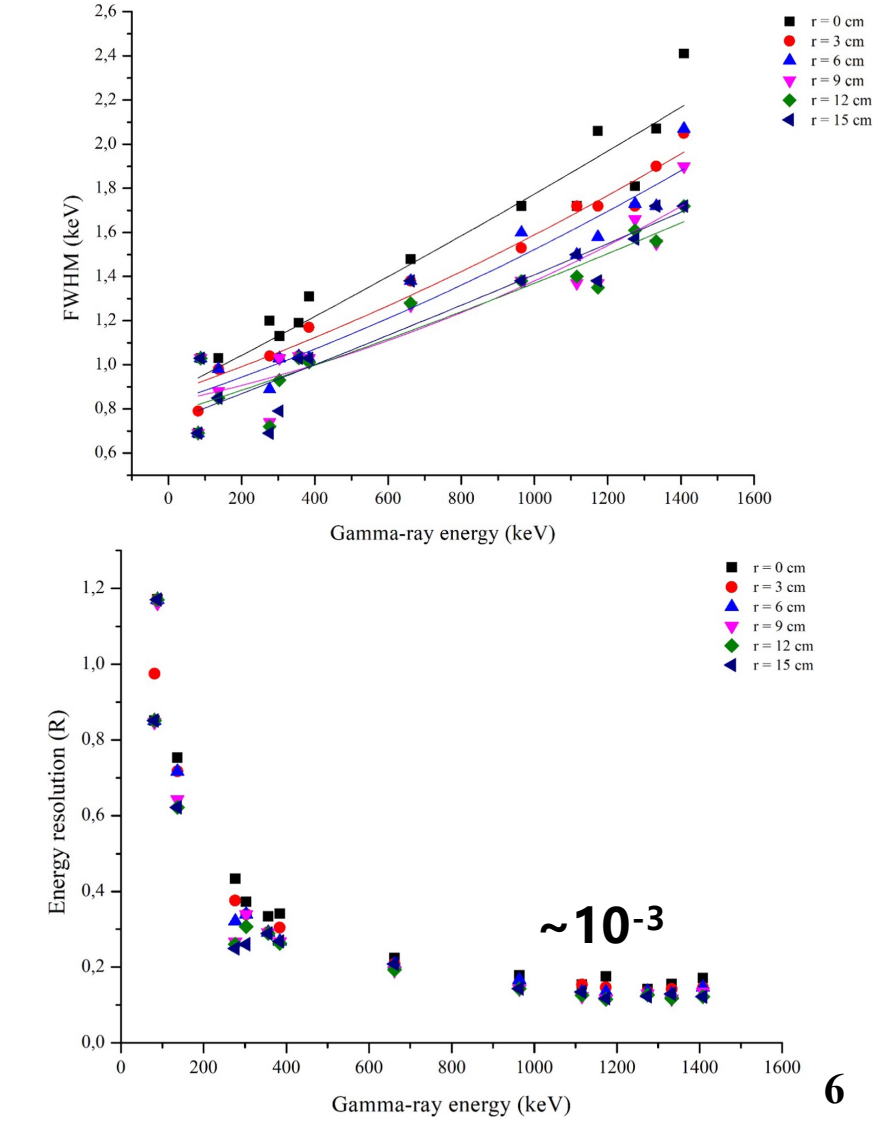
- 随着光子能量的升高,HPGe 探测器的能量测量的展宽会变大,分辨率达到平台
- 同时探测效率变低,需要更长时间累积测量







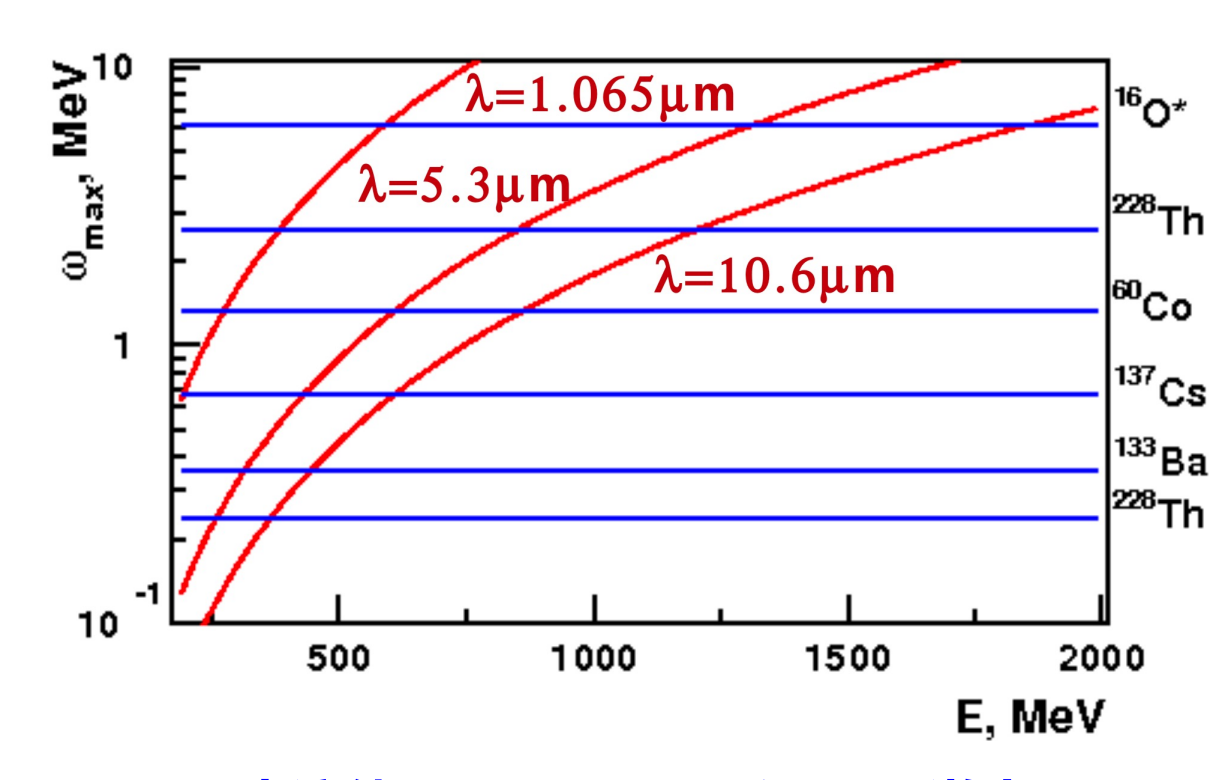
1.74 keV @ 1.33 MeV 60Co line



CO₂激光器

• CO_2 激光器的波长为 $10.6\mu m$,初始能量 ω_0 低,最高截断能量 ω_{max} 也相应更低,有利于高精度测量





GEM-select50 型二氧化碳激光器

功率: 45W, 能量: 0.12 eV (该型号已经停产)

東流能量<1GeV,可以用CO激光器 東流能量>2GeV,需要用CO₂激光器

STCF 加速器整体情况

ACCULATION AND ADDRESS OF THE PARTY AND ADDRES	The state of the s	IP	
and the second		 周长: 860.321 m	
	 *	亮度0.94×10 ³⁵ cm ⁻² s ⁻¹ ;寿命好于200s	
Φ +	 *	对撞区: 2 θ = 60 mrad, L* =0.9 m,	e .:
e+: Damping Wiggler	!	$\beta_{y}^{*} = 0.8 \text{ mm}, \beta_{x}^{*} = 60 \text{ mm}$	Dan
<u>.</u>	*	弧区:四个长弧区(60°) 和两个短弧区(30°)	Damping Wiggle
N N	*	阻尼扭摆器: 降低阻尼时间, 控制发射度	g W
/iaa	*	束流注入:离轴与置换注入,兼容性布局	iggle
P	*	高频系统: TM020高频腔	Ψ.
	 *	束流准直系统:减小本底,保护超导磁铁	
	e _{*:}	Beam Energy Meausurement RF John Mextra	

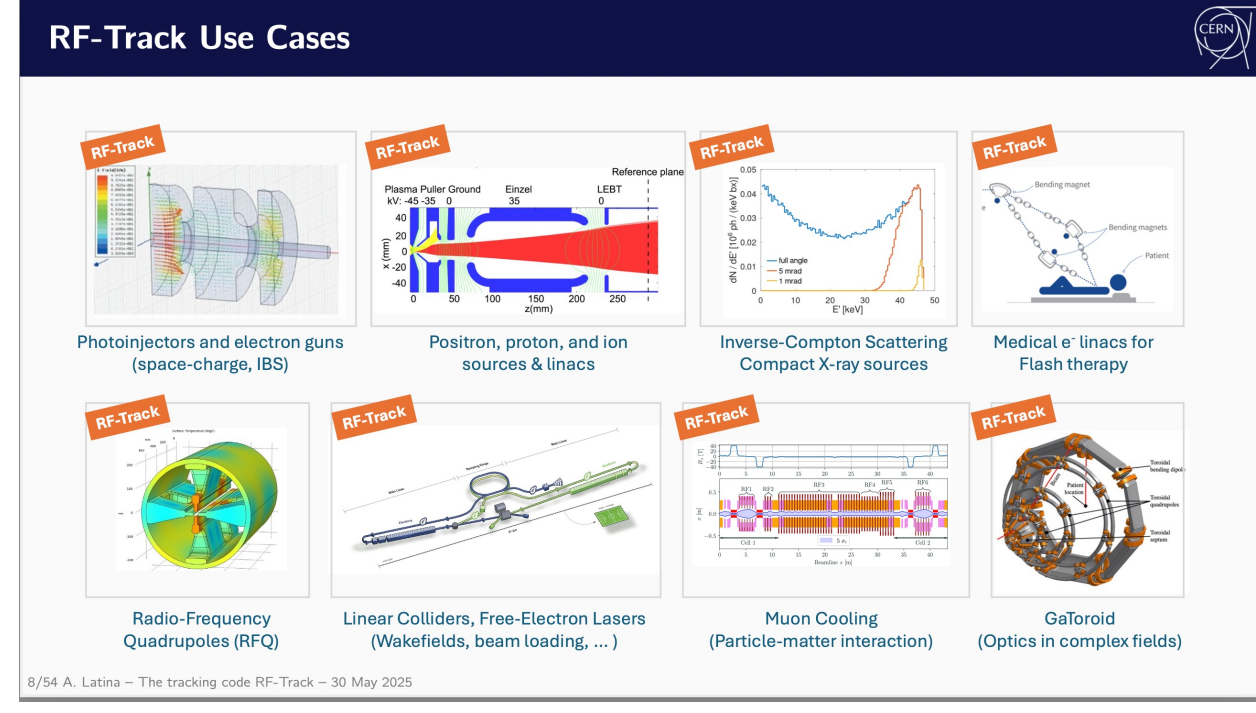
e-: Damping Wiggler

	1	
Parameters	Units	2 GeV
Circumference, C	m	860.321
Crossing angle, 2θ	mrad	60
Hor. /Ver. beta function at IP, eta_x^*/eta_y^*	mm	60/0.8
Hor./Ver. betatron tune		30.543/34.58
Beam current, I	А	2
Hor. Emittance (SR/DW+IBS)	nm	8.79/4.63
Ver. Emittance (SR/DW+IBS)	pm	87.9/46.3
Ratio, $\varepsilon_y/\varepsilon_x$	%	1
Momentum compaction factor, α_p	10-3	1.35
Energy spread (DW+IBS)	10-4	7.8
Energy loss per turn (SR+DW), U ₀	keV	543
SR power per beam (SR+DW), P	MW	1.086
RF voltage	MV	2.5
Synchrotron tune, ν_s		0.0194
δ_{RF}	%	1.68
Bunch length (Nature/0.1Ω+IBS)	mm	7.21/8.70
Hor./Ver. beam-beam parameter, ξ _x /ξ _y		0.005/0.095
Luminosity	cm ⁻² s ⁻¹	9.4E+34

束流情况下逆康普顿散射模拟

- 实际正负电子 光子的对撞过程需要考虑束团效应和能散等效应对散射光子的影响,无法直接使用理论计算
- 为了模拟STCF束流设计下的对撞情况,我们选用CERN开发的RF_Track程序对正负电子束流+激光对撞进行 了逆康普顿散射的模拟,可以包括更多束流和激光信息。

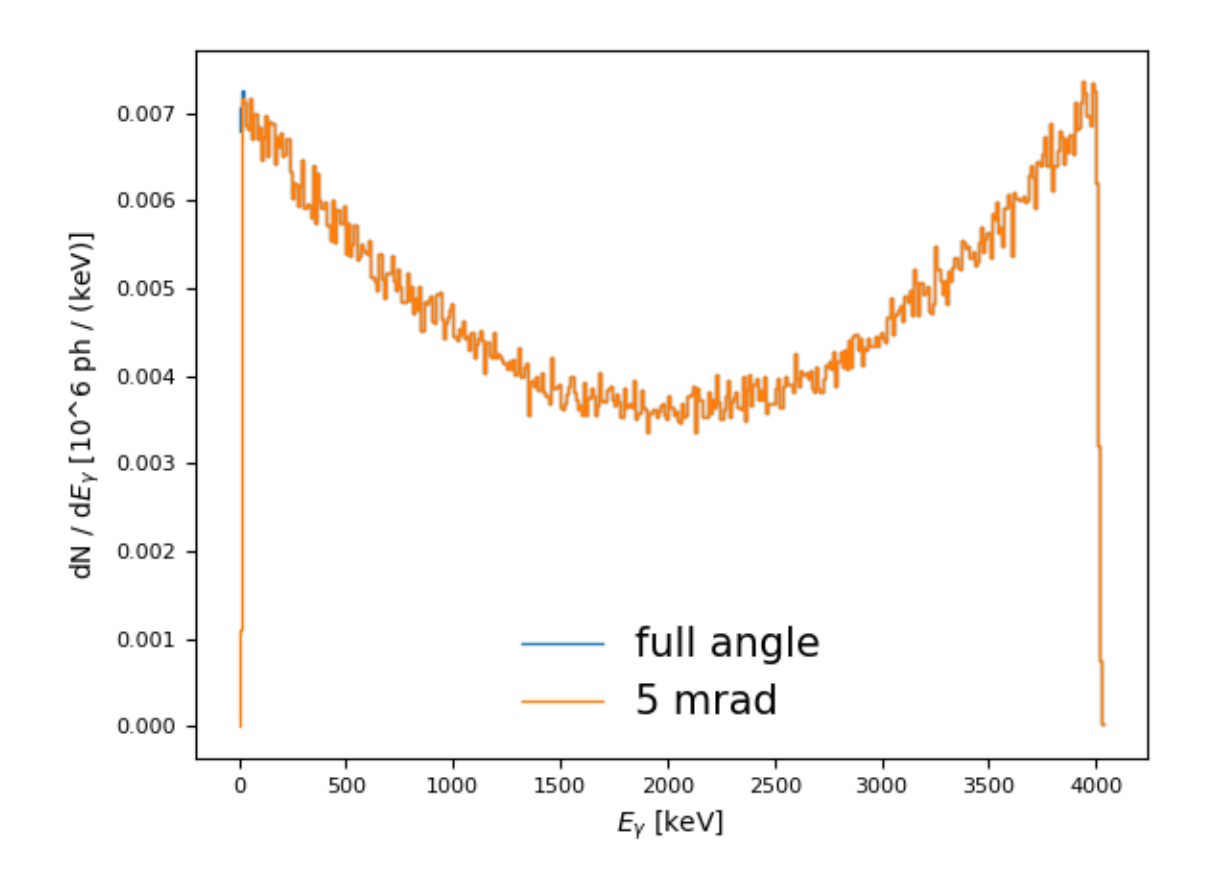
What is RF-Track? RF-Track Characteristics RF-Track is a CERN-developed particle tracking code Simulates generation, acceleration, and transport of any particle species Works with both realistic 3D field maps and conventional beamline elements Applications Photoinjectors and electron guns Positron sources High-intensity electron linacs RFQs and high-intensity proton and ion linacs Ion-electron cooling Inverse Compton scattering X-ray sources Ionisation cooling channel of the Muon Collider 4/54 A. Latina – The tracking code RF-Track – 30 May 2025



RF_Track 模拟

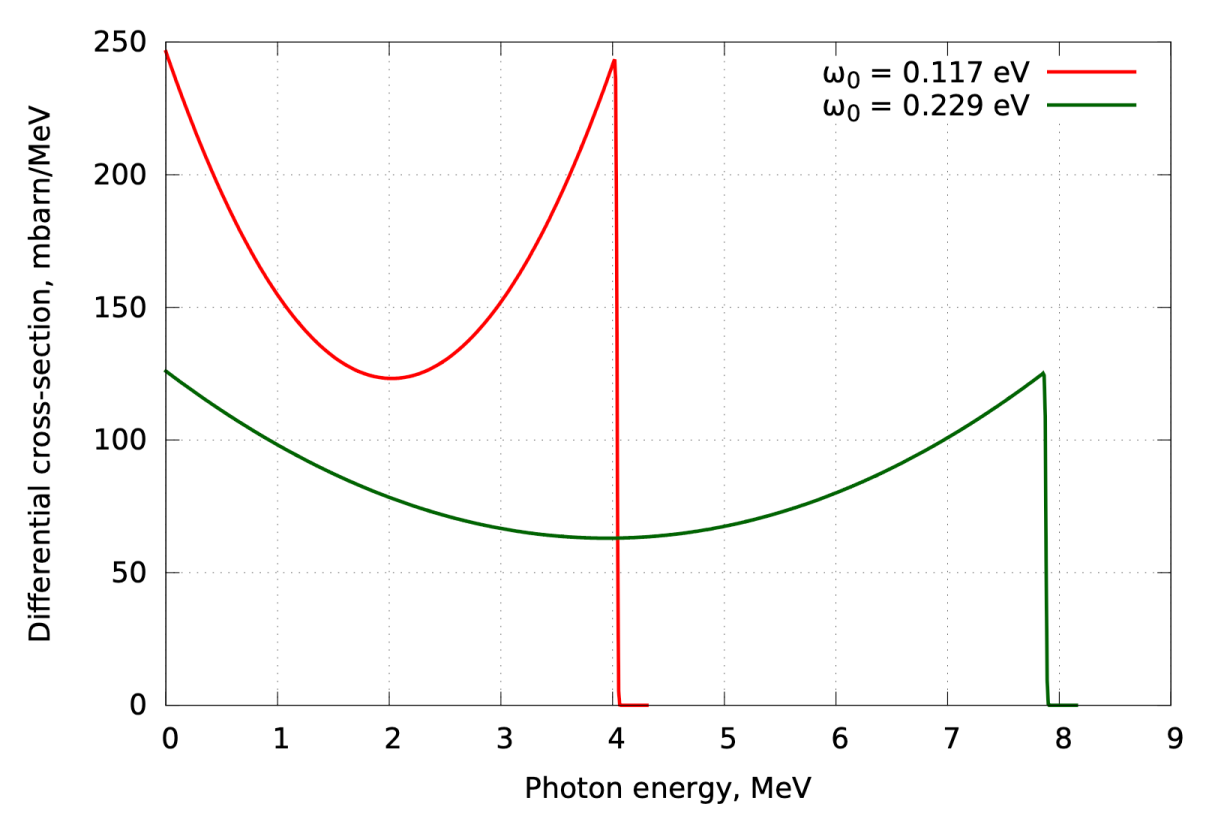
正负电子束流设置

- 能量 E=1.5 GeV, 能散 = 0.1 %
- $\beta_{x}^{*} = 60 \text{ mm}$



激光光源设置

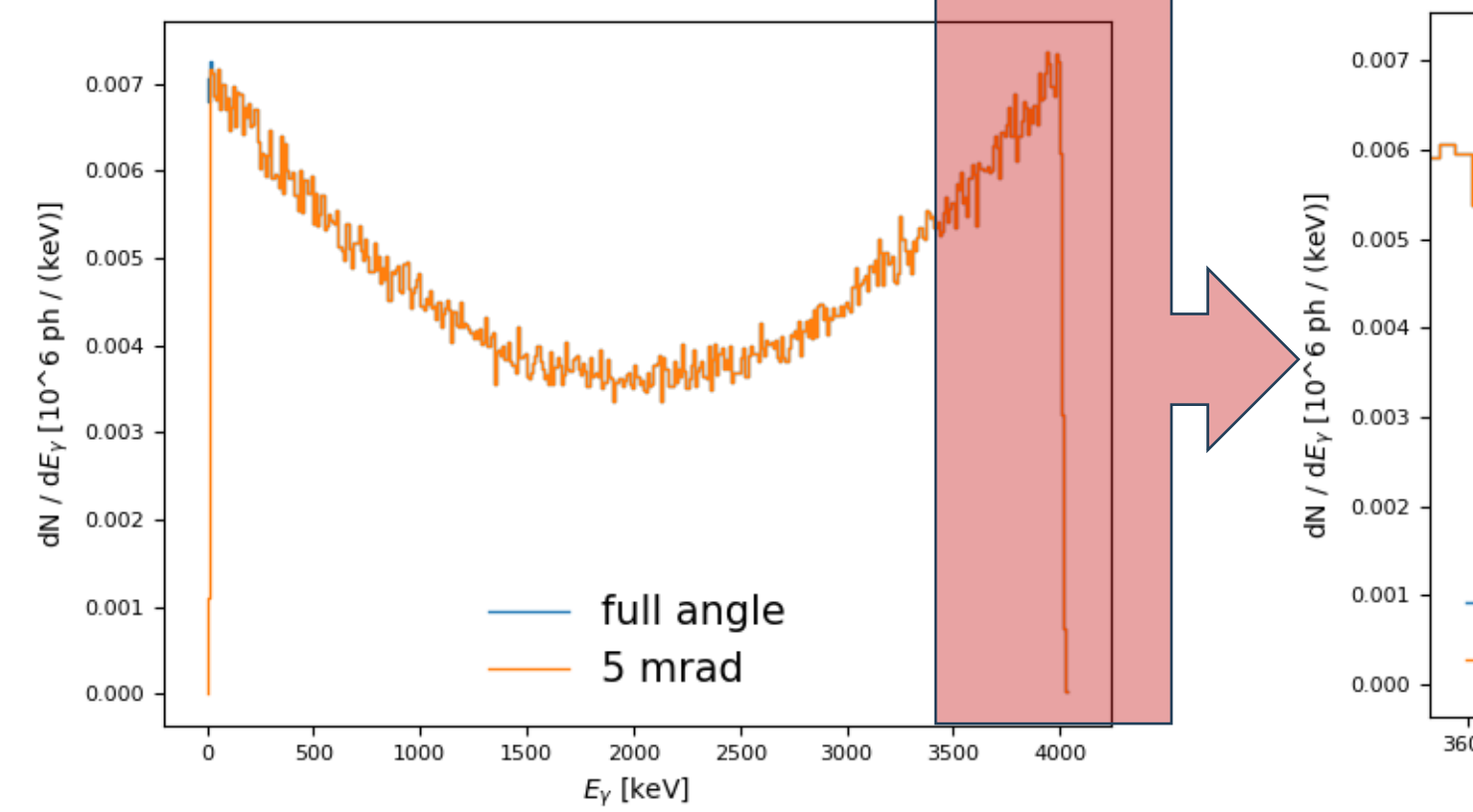
- 光子能量 E_γ=0.117 eV (λ=10.6 μm) CO₂激光器
- 脉冲能量 E_{laser}= 28 mJ,光斑尺寸 r=0.035 mm



RF_Track 模拟

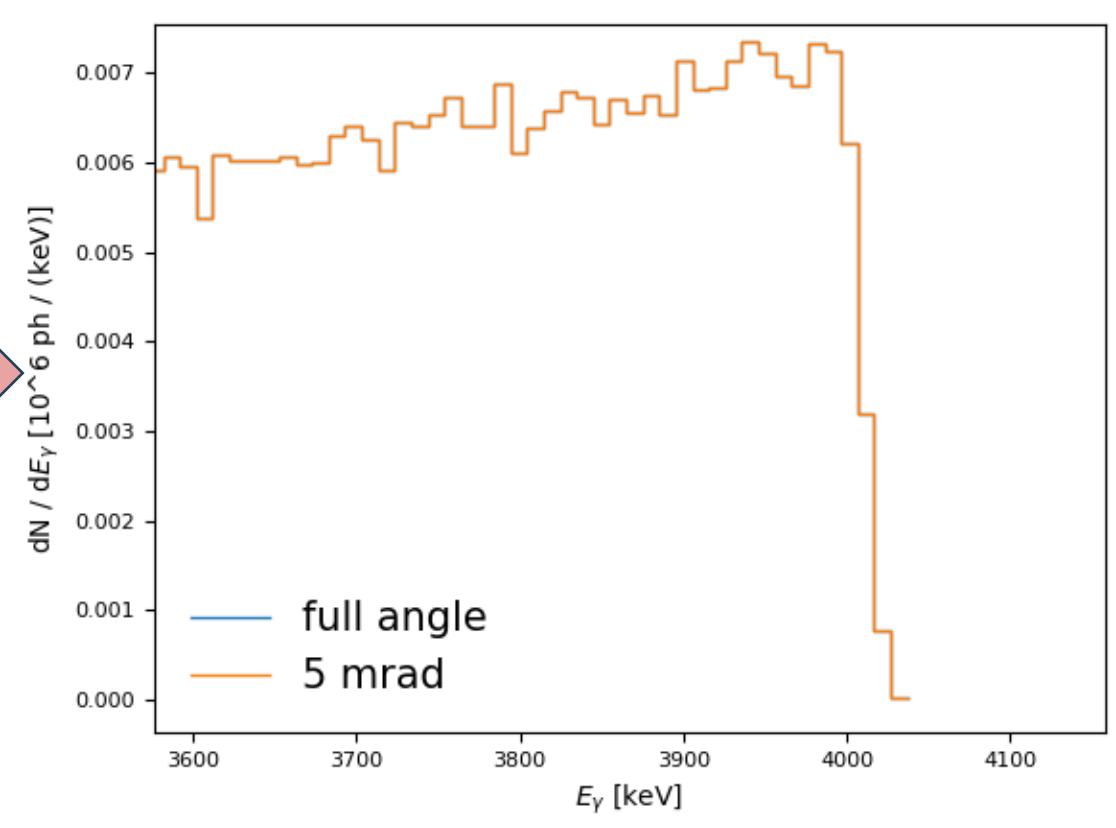
正负电子束流设置

- 能量 E=1.5 GeV, 能散 = 0.1 %
- $\beta_x^* = 60 \text{ mm}$



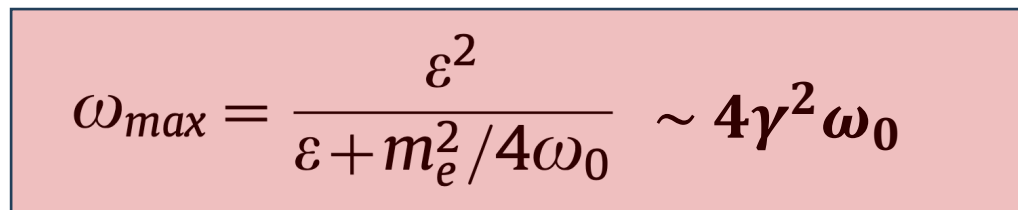
激光光源设置

- 光子能量 E_ν=0.117 eV (λ=10.6 μm) CO₂激光器
- 脉冲能量 E_{laser}= 28 mJ,光斑尺寸 r=0.035 mm

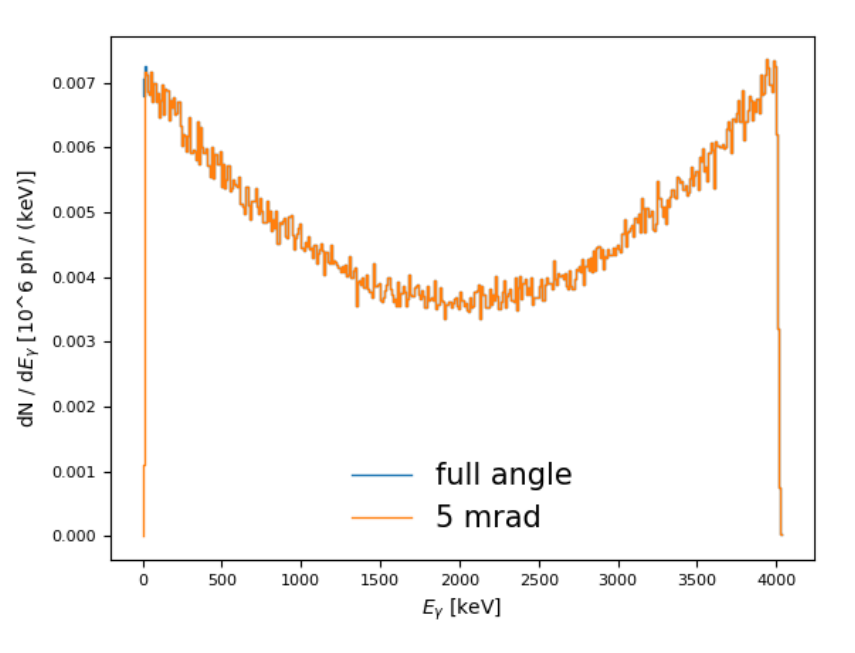


不同束流能量下的阈值

- 束流能散 = 0.3 %
- 光子能量 E_γ=0.117 eV (λ=10597 nm)
- 脉冲能量 E_{laser}= 28 mJ,光斑尺寸 r=0.035 mm

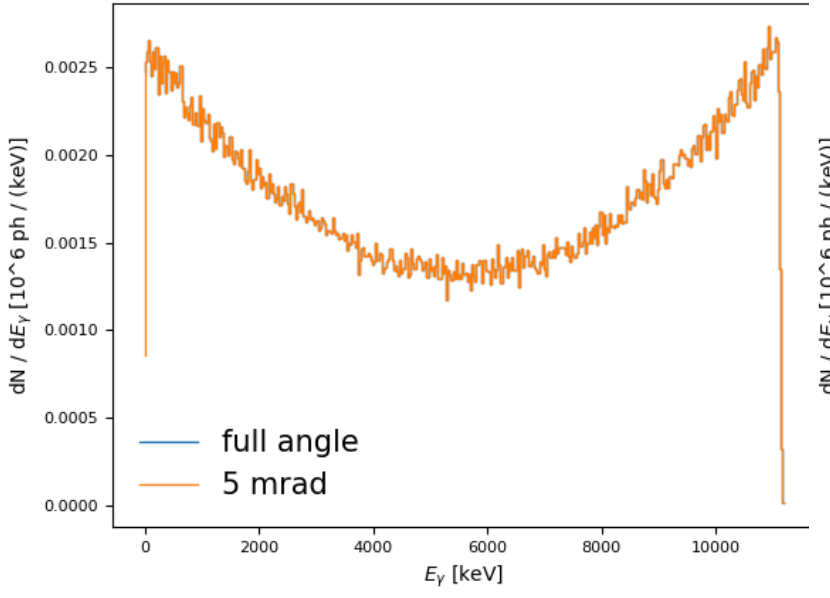


■ 束流能量 E=1.5 GeV



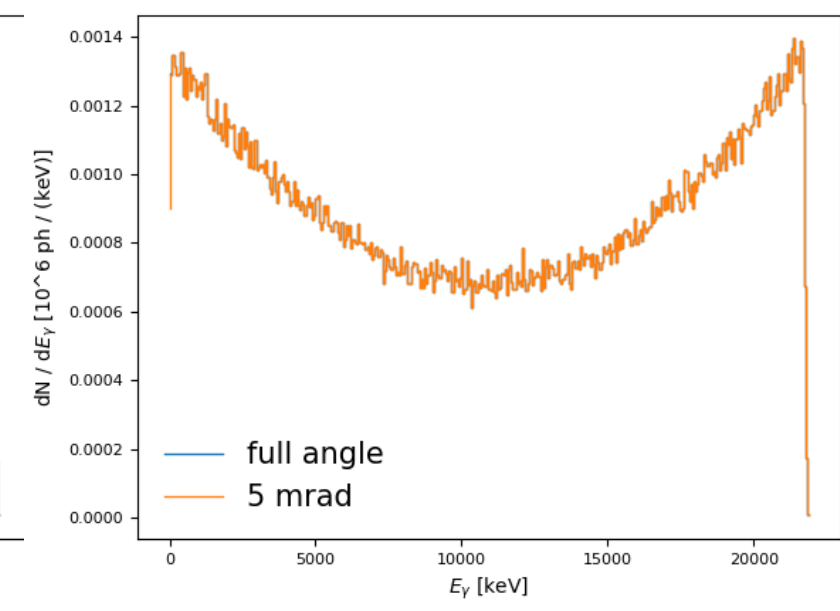
E_{cutoff} ~4.0 MeV

■ 束流能量 E=2.5 GeV



E_{cutoff} ~11.1 MeV

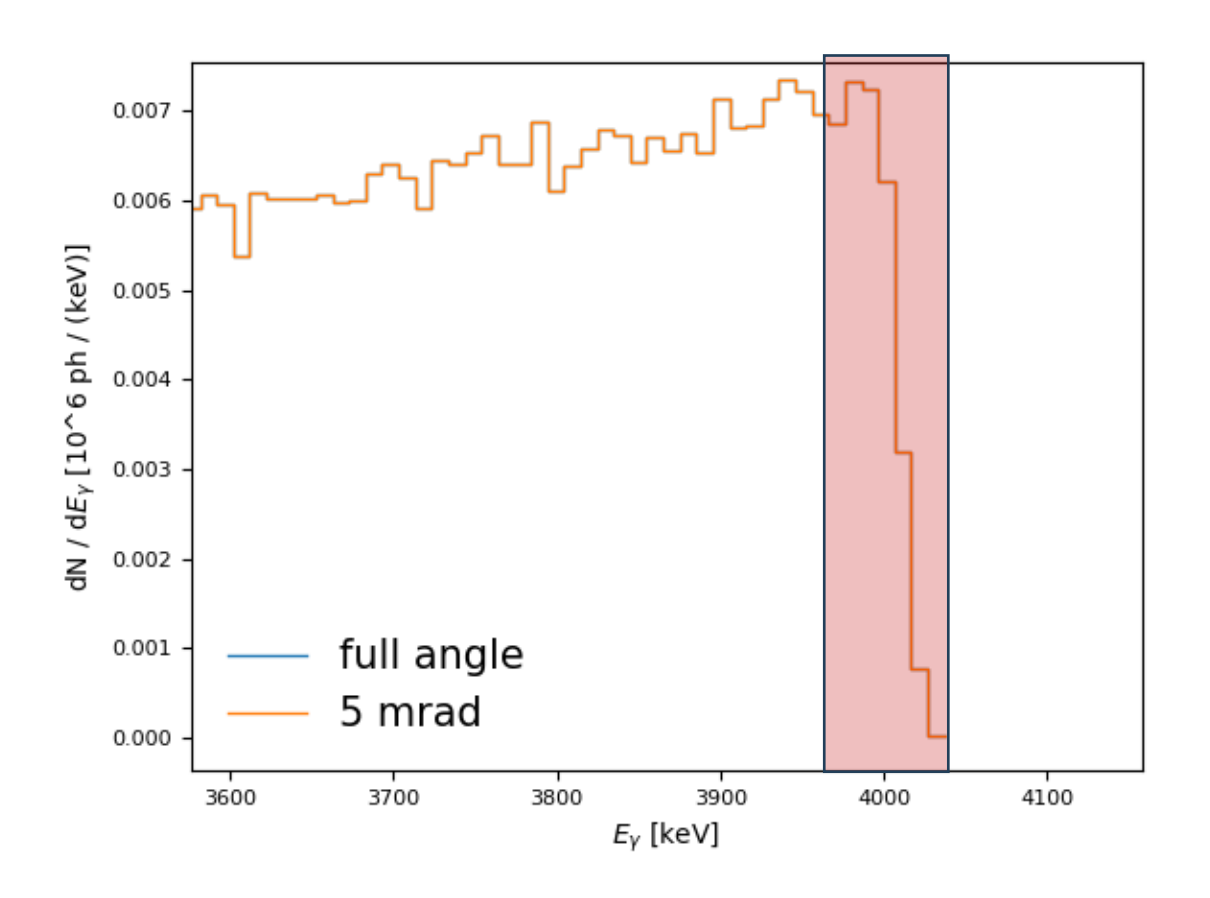
■ 束流能量 E=3.5 GeV



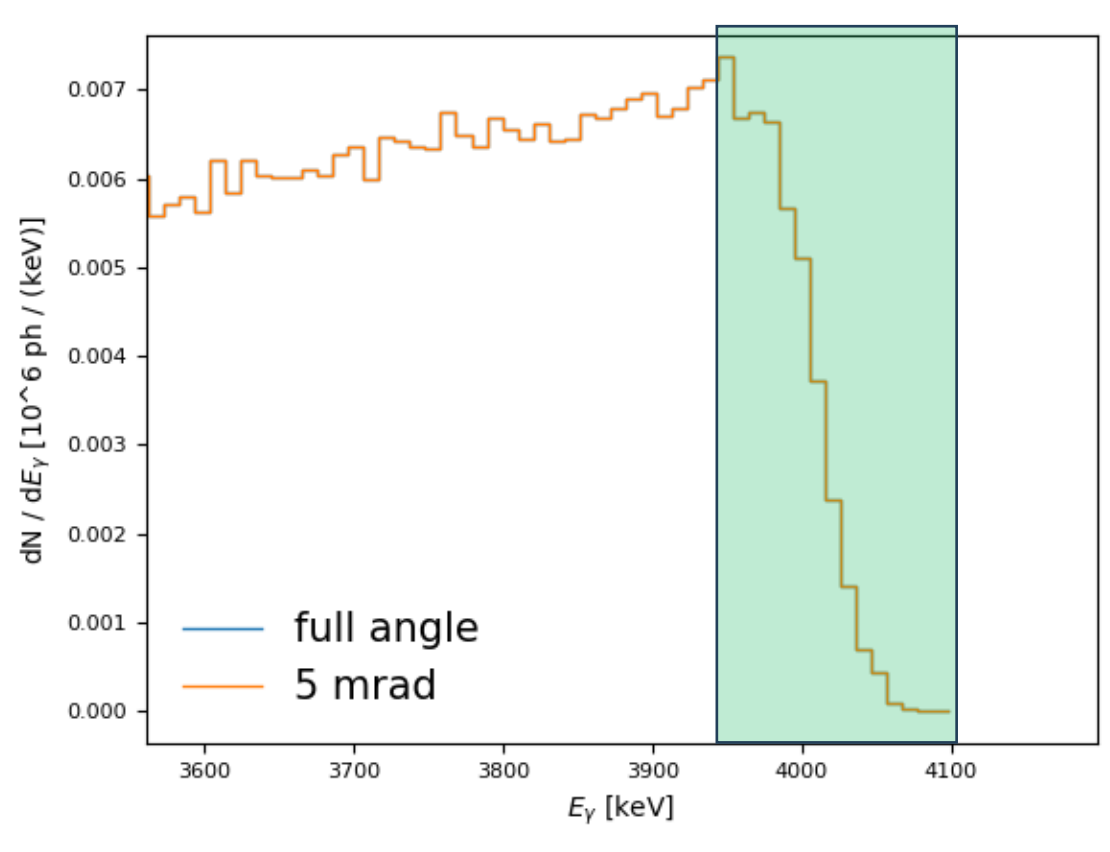
■ E_{cutoff} ~21.8 MeV

不同能散下的下降沿

- 束流能量 E=1.5 GeV,
- 束流能散 = 0.1 %

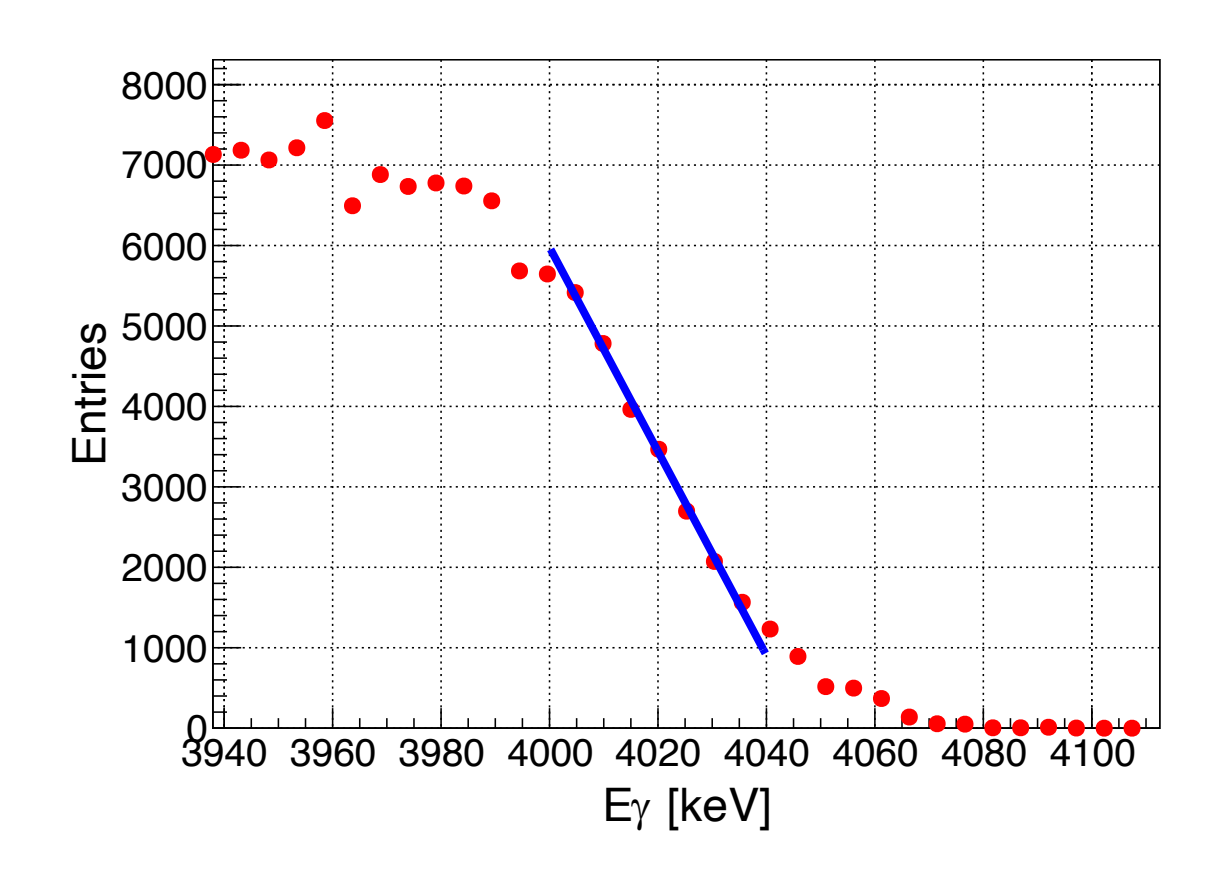


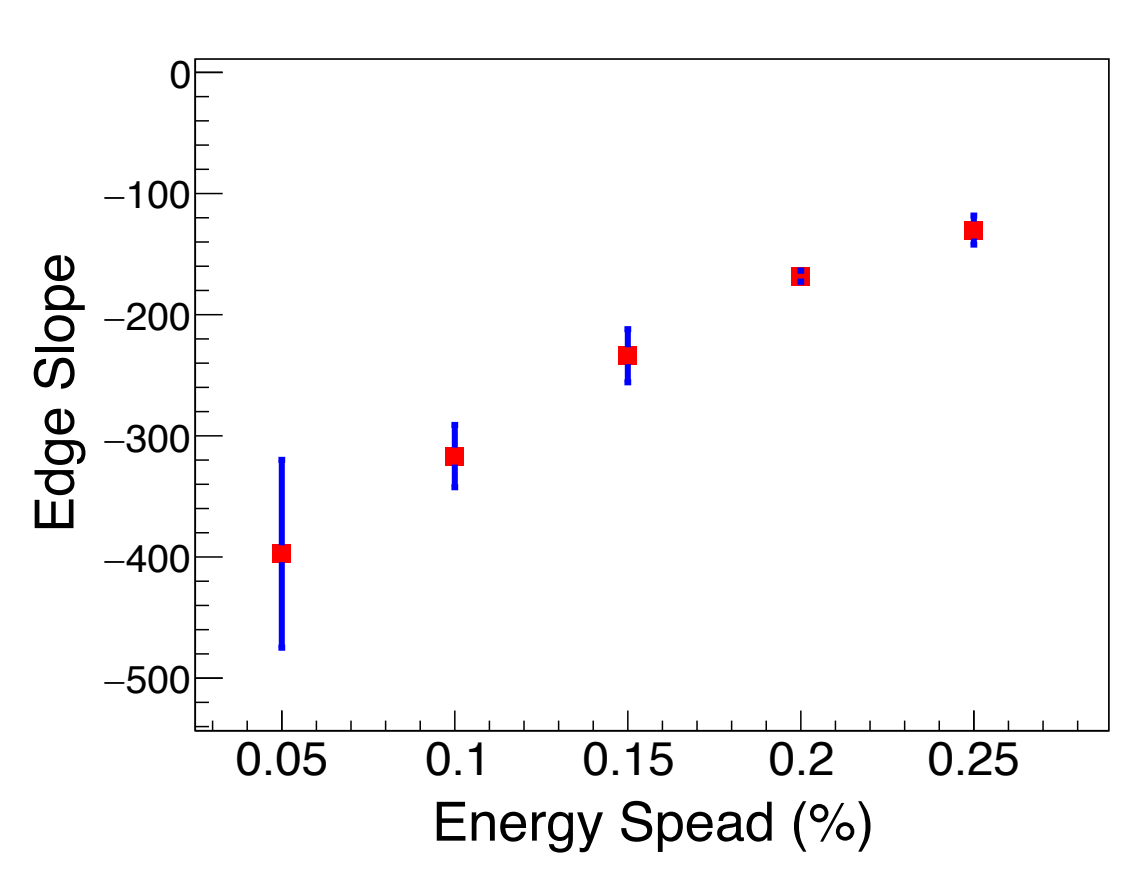
- 束流能量 E=1.5 GeV,
- 束流能散 = 0.3 %



不同能散下的下降沿

- 利用最简单的线性模型拟合下降沿的斜率,可以评估下降沿形状对于能散测量的敏感度。
- 在0.05-0.2%的能散范围,具有很强的相关性,后续还需考虑探测器分辨函数的影响。





下一步计划

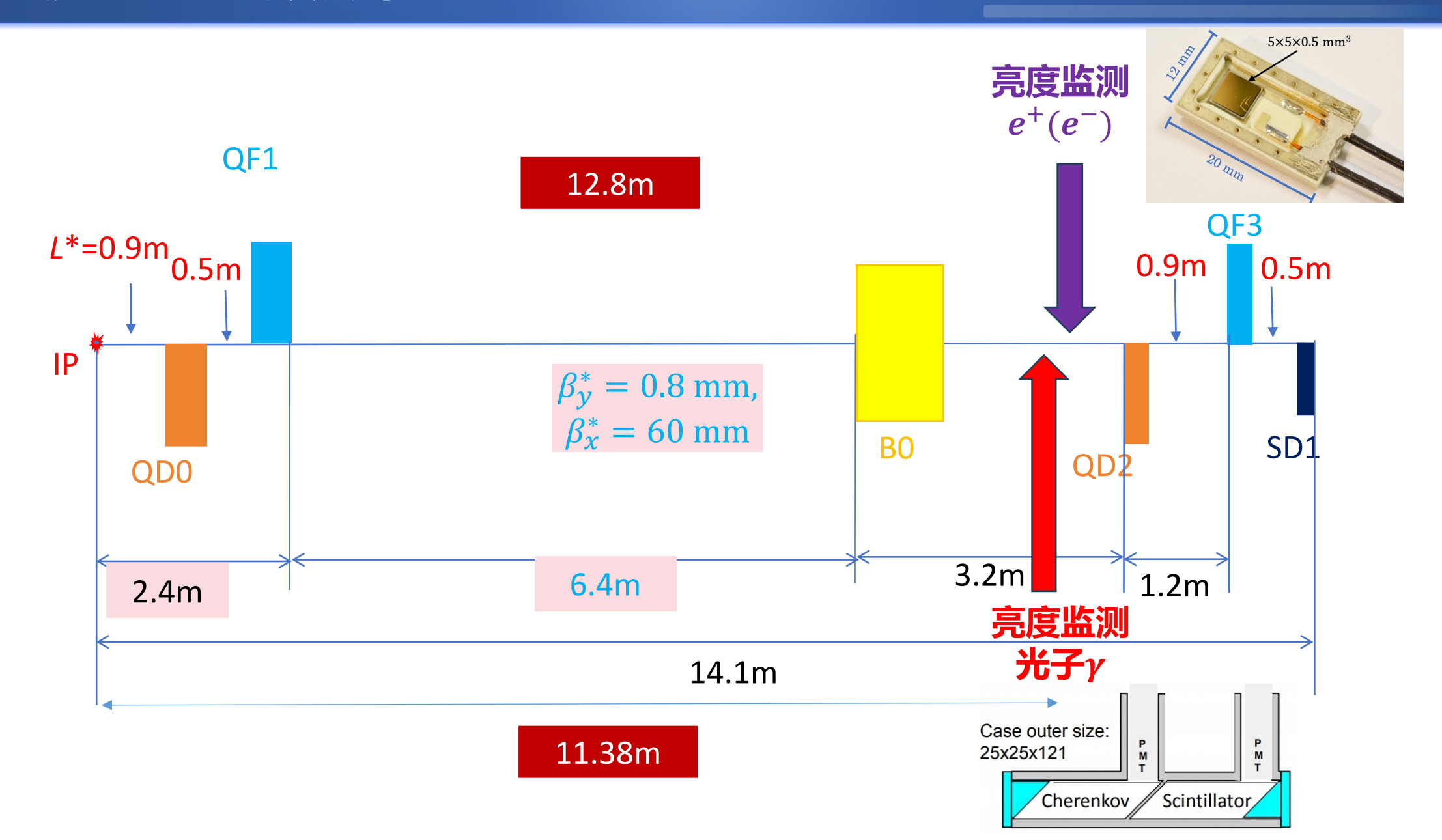
当前进度:

□ 基本模拟验证了逆康普顿散射对于能量和能散测量的可行性

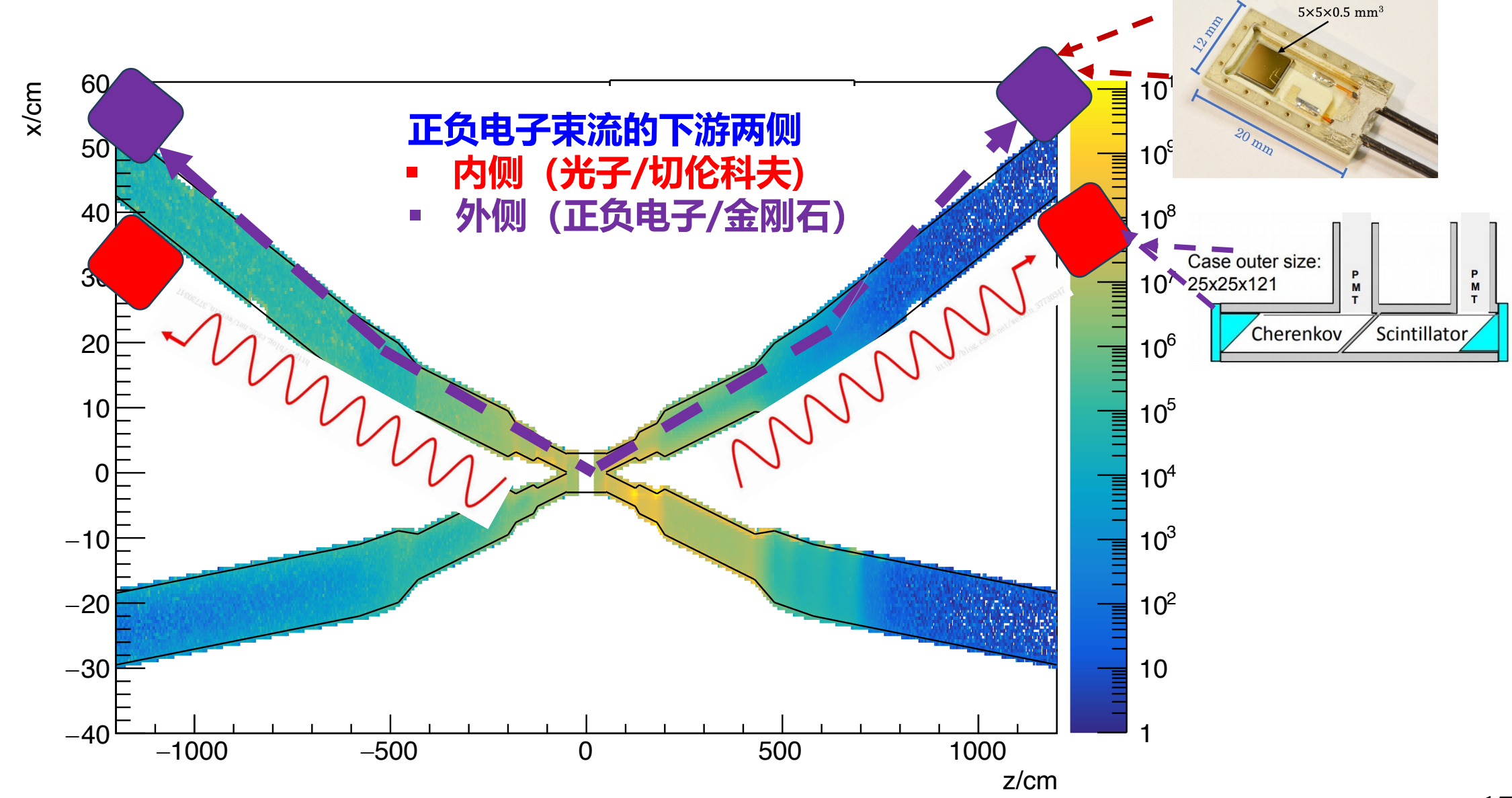
下一步主要需要考虑:

- □ 对于束流能量在 2.5 3.5 GeV,选择什么样的探测方案 ??
- □ CO₂激光器的以及 HPGe 探测器的选择
- □ 考虑卷积上 HPGe 探测器的能量分辨函数来进行束流能量和能散的分析

亮度监测器预期位置



亮度监测器预期位置



Backup

高能量束流下的可能方案

